

# Изменение поляризуемости молекул МВВА при переходе нематик–изотропная жидкость и физические следствия

© Е.М. Аверьянов

Институт физики им. Л.В. Киренского СО РАН,  
Красноярск, Россия

E-mail: aver@iph.krasn.ru

(Поступила в Редакцию 18 марта 2013 г.)

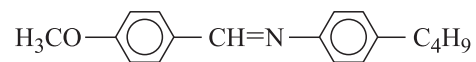
Получены экспериментальные значения компонент  $L_j$  и  $\gamma_j$  тензоров Лорентца и поляризуемости молекул жидкого кристалла 4-метоксибензилиден-4'-бутиланилина (МВВА) в нематической и изотропной фазах. Установлены квадратичные зависимости среднего значения  $\bar{\gamma}(S)$  и анизотропии  $\Delta\gamma(S)$  поляризуемости в нематической фазе от параметра ориентационного порядка молекул  $S$ . В рамках феноменологического подхода дан вывод зависимостей  $\bar{\gamma}(S)$ ,  $\Delta\gamma(S)$  и объяснены их особенности для МВВА и других известных объектов. Выяснена связь зависимостей  $\bar{\gamma}(S)$ ,  $\Delta\gamma(S)$  с особенностями фазового перехода нематик–изотропная жидкость.

## 1. Введение

Жидкие кристаллы (ЖК) являются общей моделью самоорганизованных анизотропных молекулярных сред. Это обуславливает интерес к проявлениям самоорганизации ЖК в свойствах молекул, особенностях их структурной упорядоченности и фазовых переходах [1]. Свойства молекул характеризуются молекулярными восприимчивостями разного ранга, из которых наиболее важна поляризуемость молекул  $\gamma$  [2,3]. Компоненты  $\gamma_{ij}$ , зависящие от электронной структуры и конформации молекулярных фрагментов, определяют анизотропные межмолекулярные взаимодействия и устойчивость мезофаз [1,4]. Вместе с тем, в результате возмущения электронной структуры и изменения конформации молекулярных фрагментов в ЖК из-за межмолекулярных взаимодействий ближнего и дальнего порядков сами компоненты  $\gamma_{ij}$  зависят от характера и степени упорядоченности молекул в ЖК [1], то есть поляризуемость и структурная упорядоченность молекул в ЖК изменяются взаимосогласованно. Для выяснения следствий этого в отношении фазовых переходов в ЖК необходимо установить характер зависимости компонент  $\gamma_{ij}$  от параметров порядка ЖК.

Экспериментальное решение этой задачи пока возможно для термотропных одноосных ЖК, что обусловлено двумя обстоятельствами. Во-первых, для определения компонент  $\gamma_j$ , усредненных по ориентациям молекул в системе осей эллипсоида рефракции ЖК, необходимо учитывать отличие локального поля  $E_j^{(loc)}(\omega)$  световой волны, поляризующего молекулу, от макроскопического поля  $E_j(\omega)$  световой волны в среде [5]. Эти поля связаны выражением  $E_j^{(loc)} = f_j E_j$ . Компоненты  $f_j = 1 + L_j(\epsilon_j - 1)$  тензора локального поля, диагонального в этой системе координат, связаны с компонентами  $L_j$  диагональных тензоров Лорентца ( $SpL = 1$ ) и диэлектрической проницаемости  $\epsilon_j$ . Метод определения величин  $L_j$  из экспериментальных данных [6], свободный от априорных предположений о ненаблюдаемых

свойствах молекул, разработан пока для одноосных молекулярных сред. Во-вторых, в одноосных ЖК при свободном вращении молекул вокруг их продольных осей I (эффективной одноосности тензора  $\gamma$ ) двух измеряемых значений  $\gamma_j$  достаточно для определения продольной ( $\gamma_{||}$ ) и поперечной ( $\gamma_{\perp}$ ) компонент тензора  $\gamma$  при наличии абсолютных значений параметра ориентационного порядка молекул  $S$ , полученного независимыми методами. Это определило выбор нематического ЖК 4-метоксибензилиден-4'-бутиланилина (МВВА) с молекулярной формулой



в качестве объекта настоящего исследования.

Цели данной работы: изучение экспериментальных зависимостей  $L_j(T)$ ,  $\gamma_{l,t}(\lambda, S)$  от температуры нематической фазы МВВА, длины световой волны  $\lambda$  и параметра порядка  $S$ ; интерпретация зависимостей  $\gamma_{l,t}(S)$  в рамках феноменологического подхода с выяснением их влияния на фазовый переход нематик–изотропная жидкость (N–I).

## 2. Определение компонент $L_j$

Для одноосного ЖК с  $N$  одноосными молекулами в единице объема тензор  $\gamma$  характеризуется параметрами  $\bar{\gamma} = (\gamma_{||} + 2\gamma_{\perp})/3$ ,  $\Delta\gamma = \gamma_{||} - \gamma_{\perp}$ . В системе координат директора  $\mathbf{n}$  в видимой области прозрачности имеем  $\epsilon_j = n_j^2$ ,  $n_j$  — показатели преломления ЖК для световых волн, поляризованных вдоль ( $j = ||$ ) и нормально  $\mathbf{n}$  ( $j = \perp$ ). Введем параметры  $\bar{\epsilon} = (\epsilon_{||} + 2\epsilon_{\perp})/3$ ,  $Q = (\epsilon_{||} - \epsilon_{\perp})/(\bar{\epsilon} - 1)$  и величины

$$r_0 = 1 - \frac{2Q^2(\bar{\epsilon} - 1)}{3(3 + Q)(\bar{\epsilon} + 2)}, \quad b = \frac{3(\bar{\epsilon} - 1)}{4\pi N\bar{\gamma}(\bar{\epsilon} + 2)} - r_0,$$

$$b_1 = \frac{2r_0Q^2}{(3 - Q)(3 + 2Q)}, \quad b_2 = b_1[(6 + Q)/Q]^2. \quad (1)$$

Искомая компонента  $L_{\perp}$  ( $L_{\parallel} = 1 - 2L_{\perp}$ ) связана с этими величинами выражением [7]

$$L_{\perp} = L_{\perp k} - \frac{(\bar{\varepsilon} + 2)}{12(\bar{\varepsilon} - 1)} \times [(b_1 b_2)^{1/2} - b - [(b_1 - b)(b_2 - b)]^{1/2}], \quad (2)$$

где  $L_{\perp k} = (3 + 2Q)/[3(3 + Q)]$ . Функция  $b(\lambda, T)$  зависит от неизвестной функции  $\bar{\gamma}(\lambda, T)$ , а знаки  $b$  и  $\Delta f = f_{\parallel} - f_{\perp}$  совпадают [7]. Равенство  $L_{\perp} = L_{\perp k}$  отвечает условию  $\Delta f = b = 0$ . Без априорных предположений о функции  $\bar{\gamma}(\lambda, T)$  при заданной температуре ЖК неизвестные  $L_{\perp}(T)$  и  $b(\lambda, T)$  определяются следующим образом [6]. При известных значениях  $n_j(\lambda_i, T)$  для дискретного набора величин  $\lambda_i$  ( $i = 1 - p$ ) в видимой области функция  $b(\lambda, T)$  в интервале  $\lambda_1 - \lambda_p$  аппроксимируется полиномом

$$b(\lambda, T) = a_0(T) + a_1(T)\lambda + \dots + a_m(T)\lambda^m. \quad (3)$$

Значение  $L_{\perp}(T)$  не зависит от  $\lambda$ , и температуре  $T$  нематической фазы отвечают  $m + 2$  неизвестных величин  $\{L_{\perp}^{(m)}, a_0 - a_m\}$ . Они находятся из системы  $m + 2 = p$  уравнений (2), каждое из которых соответствует одному из значений  $\lambda_i$ . Более высокое приближение в (3) требует более высокой точности значений  $n_j(\lambda, T)$ , иначе система уравнений на  $\{L_{\perp}^{(m)}, a_0 - a_m\}$  может не иметь физических решений. Критерием адекватности используемого приближения в (3) является согласие значений  $L_{\perp}^{(m)}$  с величинами  $\langle L_{\perp}^{(m-1)} \rangle$ , усредненными по значениям  $L_{\perp}^{(m-1)}$ , которые отвечают всем возможным сочетаниям  $p - 1$  реперов  $\lambda_i$  из набора  $\lambda_1 - \lambda_p$  [6].

Зависимости  $n_j(\lambda, \Delta T)$  для нематической и изотропной фаз МВВА табулированы в работе [8] при  $\lambda_1 = 0.4678$ ,  $\lambda_2 = 0.48$ ,  $\lambda_3 = 0.5086$ ,  $\lambda_4 = 0.5893$  и  $\lambda_5 = 0.6438 \mu\text{m}$ . Здесь  $\Delta T = T_{\text{NI}} - T$ ,  $T_{\text{NI}}$  — температура перехода N–I. Степени  $m \geq 1$  полинома (3) неадекватны точности значений  $n_j(\lambda, T)$  [8], поскольку зависимости  $L_{\perp}^{(3)}(\Delta T)$ ,  $\langle L_{\perp}^{(2)}(\Delta T) \rangle$  нерегулярны и различаются между собой, а при отдельных значениях  $\Delta T$  и сочетаниях величин  $\lambda_i$  физические решения для  $L_{\perp}^{(1,2)}$  отсутствуют. Для  $L_{\perp}^{(0)}(\Delta T)$  физические решения системы уравнений (2) существуют для всех значений  $\Delta T$  и всех пар  $\lambda_{k,n}$  из набора  $\lambda_i$ . Стандартные отклонения  $L_{\perp}^{(0)}(\Delta T)$  от средних  $\langle L_{\perp}^{(0)}(\Delta T) \rangle$  не превышают 0.005. В пределах точности величин  $\langle L_{\perp}^{(1)}(\Delta T) \rangle$  и  $\langle L_{\perp}^{(2)}(\Delta T) \rangle$  они согласуются с зависимостью  $\langle L_{\perp}^{(0)}(\Delta T) \rangle$  соответственно во всей нематической фазе и при  $\Delta T \geq 16^\circ$ . Таким образом, следует принять  $L_{\perp}(\Delta T) = \langle L_{\perp}^{(0)}(\Delta T) \rangle$ , эта зависимость приведена на рис. 1.

Между зависимостями  $L_{\perp}(\Delta T)$  и  $L_{\perp k}(\Delta T, \lambda)$  существует корреляция

$$L_{\perp}(\Delta T) = A(\lambda)L_{\perp k}(\Delta T, \lambda) + B(\lambda), \quad (4)$$

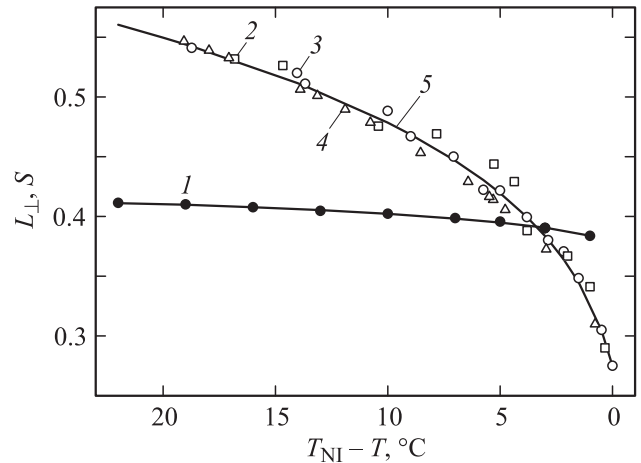


Рис. 1. Температурные зависимости компоненты  $L_{\perp}$  (1) и параметра ориентационного порядка молекул  $S$  в нематической фазе МВВА по данным ЯМР на  $^{13}\text{C}$  [9] (2) и  $^2\text{H}$  из работ [10,11] (3) и [12] (4). Сплошные линии (1) и (5) — зависимость (4) при  $\lambda = 0.5893 \mu\text{m}$  и зависимость (7) с указанными в тексте параметрами соответственно.

параметры которой связаны выражением  $B \approx (1 - A)/3$ . При  $\lambda = \lambda_4$  зависимость (4) с параметрами  $A = 1.631$  и  $B = -0.203$  приведена на рис. 1. Из (4) следует соотношение

$$A = (L_{\perp} - 1/3)/(L_{\perp k} - 1/3) \approx \text{const}. \quad (5)$$

С учетом малости  $Q \ll 3$  имеем  $(L_{\perp k} - 1/3) \propto Q$ . С другой стороны, в линейном по  $S$  приближении выполняется  $Q \propto S$  [5] и из (5) получаем  $(L_{\perp} - 1/3) \propto S$ .

### 3. Зависимости $\bar{\gamma}(S)$ , $\Delta\gamma(S)$ в нематической фазе

Для одноосного ЖК компоненты  $\varepsilon_j$ ,  $\gamma_j$  и  $L_j$  связаны соотношением [5]

$$\varepsilon_j = 1 + 4\pi N \gamma_j [1 + L_j(\varepsilon_j - 1)], \quad (j = \parallel, \perp), \quad (6)$$

из которого находятся параметры  $\bar{\gamma} = (\gamma_{\parallel} + 2\gamma_{\perp})/3$ ,  $\Delta\gamma = (\gamma_{\parallel} - \gamma_{\perp})/S$ ,  $\gamma_l = \bar{\gamma} + 2\Delta\gamma/3$ ,  $\gamma_t = \bar{\gamma} - \Delta\gamma/3$ . Здесь  $S = \langle 3 \cos^2 \theta - 1 \rangle / 2$ ,  $\theta$  — угол между молекулярной осью  $\mathbf{l}$  и  $\mathbf{n}$ , скобки  $\langle \dots \rangle$  означают усреднение по молекулярному ансамблю. В шкале  $\Delta T$  величины  $n_j(\Delta T)$ ,  $S(\Delta T)$  и плотность  $\rho(\Delta T)$  для разных образцов слабо чувствительны к различию  $T_{\text{NI}}$  из-за наличия примесей. В данной работе эти величины для разных образцов МВВА комбинируются при одинаковых значениях  $\Delta T$ . Абсолютные значения  $S$  для МВВА, полученные методами ЯМР на  $^{13}\text{C}$  [9] и  $^2\text{H}$  [10–12], приведены на рис. 1. Они аппроксимировались функцией [13]

$$S = S_0(1 - T/T_H)^{\beta_H} \quad (7)$$

с  $T_{\text{NI}} = 317.16 \text{ K}$  [8],  $S_0 = 0.978 \pm 0.028$ ,  $T_H - T_{\text{NI}} = 0.78 \pm 0.17^\circ\text{C}$ ,  $\beta_H = 0.211 \pm 0.009$ . Значения  $L_{\perp}(\Delta T)$

на рис. 1,  $S$  (7) и  $\rho(\Delta T)$  [14] использовались в (6) для определения величин  $\gamma_j(\Delta T, \lambda)$ ,  $\gamma_{l,t}(\Delta T, \lambda)$  из показателей преломления  $n_j(\Delta T, \lambda)$  [8].

В нематической фазе МВВА температурное изменение параметров  $\bar{\gamma}$ ,  $\gamma_{l,t}$  и  $\Delta\gamma$  при всех значениях  $\lambda_{1-5}$  наилучшим образом аппроксимируется функцией

$$\Gamma(\lambda, S) = \Gamma_0(\lambda) + \Gamma_2(\lambda)S^2 \quad (8)$$

с коэффициентами, указанными в таблице. На рис. 2 приведены типичные зависимости  $\bar{\gamma}$  и  $\gamma_l$  от  $S^2$  при  $\lambda = \lambda_{1,5}$ . Величины  $\Gamma_0$  отвечают значениям параметров  $\bar{\gamma}$ ,  $\Delta\gamma$ ,  $\gamma_{l,t}$  при  $S = 0$ . Это подтверждается хорошим согласием величин  $\Gamma_0(\bar{\gamma}, \lambda)$  со значениями  $\bar{\gamma}_i(\lambda)$  в изотропной фазе МВВА при всех значениях  $\lambda_{1-5}$ . Зависимости  $\Gamma_{0,2}(\lambda)$  для  $\bar{\gamma}$ ,  $\gamma_l$ ,  $\Delta\gamma$  имеют нормальную дисперсию в интервале  $\lambda_{1-5}$ . Для установления электронных переходов, ответственных за эту дисперсию, зависимости  $\bar{\gamma}$ ,  $\gamma_l$ ,  $\Delta\gamma$ ,  $\Gamma_{0,2}$  от  $\lambda$  в интервале  $\lambda_{1-5}$  аппроксимировались функцией

$$y = y_b + P\lambda^2/(\lambda^2 - \lambda_r^2). \quad (9)$$

Использование этой процедуры в нематической фазе при каждом значении  $\Delta T$  дало величины  $\lambda_r(\bar{\gamma}) = 0.298 \pm 0.015$ ,  $\lambda_r(\gamma_l) = 0.301 \pm 0.011$  и  $\lambda_r(\Delta\gamma) = 0.305 \pm 0.011 \mu\text{m}$ , не имеющие регулярного температурного поведения. Они локализованы между максимумами  $\lambda_{n\pi} = 0.285$  и  $\lambda_{\pi n} = 0.325 \mu\text{m}$  длинноволновых

Коэффициенты  $\Gamma_{0,2}(\text{Å}^3)$  зависимости (8) для величин  $\Gamma$ , коэффициенты корреляции  $R$  и параметры  $\kappa = \Gamma_2/\Gamma_0$  при указанных значениях  $\lambda$ ,  $\mu\text{m}$

$\Gamma$	$\lambda$	$\Gamma_0$	$\Gamma_2$	$R$	$\kappa$
$\bar{\gamma}$	0.4678	37.87	5.60	0.9893	0.1479
	0.4800	37.60	5.29	0.9978	0.1407
	0.5086	36.99	5.08	0.9979	0.1373
	0.5893	35.94	4.60	0.9956	0.1280
	0.6438	35.63	4.12	0.9949	0.1156
	$\infty$	34.14	3.00	0.9230	0.0879
	$\gamma_l$	0.4678	67.42	9.04	0.8797
0.4800		66.72	8.10	0.9349	0.1214
0.5086		64.71	7.98	0.9373	0.1233
0.5893		61.24	8.45	0.9698	0.1380
0.6438		60.55	6.15	0.9296	0.1016
$\infty$		56.00	4.02	0.8321	0.0718
$\gamma_t$		0.4678	23.11	3.86	0.9451
	0.4800	23.03	3.88	0.9626	0.1685
	0.5086	23.13	3.61	0.9441	0.1561
	0.5893	23.29	2.68	0.9549	0.1151
	0.6438	23.16	3.12	0.9684	0.1347
	$\infty$	23.36	2.06	0.9109	0.0882
	$\Delta\gamma$	0.4678	44.31	5.21	0.6060
0.4800		43.69	4.22	0.6818	0.0966
0.5086		41.58	4.41	0.6998	0.1061
0.5893		37.95	5.77	0.8944	0.1520
0.6438		37.40	3.02	0.6526	0.0807
$\infty$		32.74	2.06	0.6891	0.0629

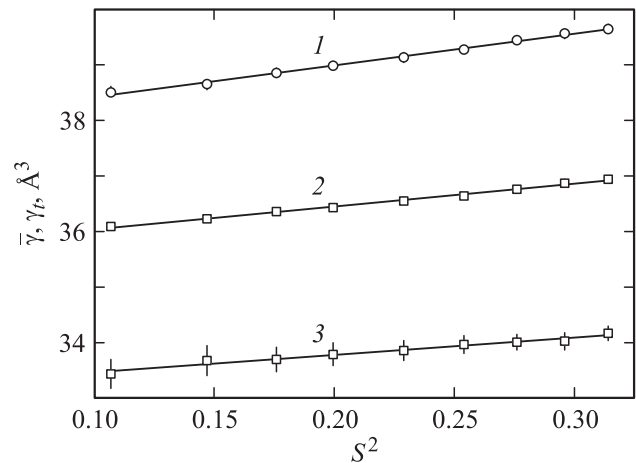


Рис. 2. Зависимость величин  $\bar{\gamma}$  (1, 2) и  $\gamma_t$  (3) от  $S^2$  в нематической фазе МВВА при  $\lambda = 0.4678$  (1) и  $0.6438 \mu\text{m}$  (2, 3). График (3) смещен вверх на  $10 \text{Å}^3$ . Сплошные линии — зависимости (8) с табличными коэффициентами.

электронных полос поглощения МВВА [15,16], относящихся к переходам типа  $n-\pi^*$  и  $\pi-\pi^*$  с поляризацией вдоль связи  $N$ -phenyl молекулы МВВА [17]. Эти переходы определяют дисперсию  $\bar{\gamma}(\lambda)$ ,  $\gamma_l(\lambda)$ ,  $\Delta\gamma(\lambda)$  в видимой области. Коэффициент  $y_b$  в (9) дает фоновые значения  $\bar{\gamma}_b$ ,  $\gamma_{l,t}^{(b)}$  и  $\Delta\gamma_b$ , обусловленные более коротковолновыми переходами. В нематической фазе температурное изменение величин  $\bar{\gamma}_b$ ,  $\gamma_{l,t}^{(b)}$ ,  $\Delta\gamma_b$  отсутствует. Температурное изменение параметров  $\bar{\gamma}_\infty$ ,  $\gamma_{l,t}^{(\infty)}$  и  $\Delta\gamma_\infty$ , отвечающих пределу  $\lambda \rightarrow \infty$  и полученных из аппроксимации (9), характеризуется функцией (8) с коэффициентами, приведенными в таблице.

Аппроксимация значений  $\Gamma_0(\lambda)$  для  $\bar{\gamma}$ ,  $\gamma_l$ ,  $\Delta\gamma$  функцией (9) дала величины  $\lambda_r(\bar{\gamma}) = 0.311$ ,  $\lambda_r(\gamma_l) = 0.320$  и  $\lambda_r(\Delta\gamma) = 0.324 \mu\text{m}$ , близкие к тем же для нематической фазы и экспериментальным [15,16]. Значения  $\Gamma_0^{(\infty)} = \Gamma_0(\lambda \rightarrow \infty)$  для  $\bar{\gamma}$ ,  $\gamma_l$ ,  $\Delta\gamma$  совпадают с коэффициентами  $\Gamma_0$  формулы (8) для параметров  $\bar{\gamma}_\infty$ ,  $\Delta\gamma_\infty$  и  $\gamma_l^{(\infty)}$ . Коэффициенты  $P$  функции (9) даются выражениями

$$P(\bar{\gamma}) = D/3, \quad P(\gamma_l) = D(1 + 2S_\beta)/3, \quad P(\Delta\gamma) = DS_\beta. \quad (10)$$

Здесь  $D = \text{const}$ ,  $S_\beta = (3 \cos^2 \beta - 1)/2$ ,  $\beta$  — угол между молекулярной осью  $I$  и направлением дипольного момента электронного перехода, ответственного за дисперсию  $\Gamma_0(\lambda)$  в интервале  $\lambda_{1-5}$ . Из формул (9), (10) следуют соотношения

$$w_0^{(1)} = \frac{\Gamma_0(\Delta\gamma) - \Gamma_0^{(b)}(\Delta\gamma)}{\Gamma_0(\bar{\gamma}) - \Gamma_0^{(b)}(\bar{\gamma})} = 3S_\beta,$$

$$w_0^{(2)} = \frac{\Gamma_0(\gamma_l) - \Gamma_0^{(b)}(\gamma_l)}{\Gamma_0(\Delta\gamma) - \Gamma_0^{(b)}(\Delta\gamma)} = (1 + 2S_\beta)/3S_\beta \quad (11)$$

и  $w_0^{(3)} = w_0^{(1)}w_0^{(2)} = 1 + 2S_\beta$ , которые использовались для определения величин  $\cos^2 \beta$ . Значения  $w_0^{(1-3)}(\lambda_{1-5})$ ,

полученные из данных таблицы, а также величин  $\Gamma_0^{(b)}(\bar{\nu}) = 29.47$ ,  $\Gamma_0^{(b)}(\gamma_l) = 43.05$  и  $\Gamma_0^{(b)}(\Delta\gamma) = 20.23 \text{ \AA}^3$ , дают  $\cos^2 \beta = 0.962 \pm 0.013$  и угол  $\beta = 11.2^\circ \pm 2^\circ$ . Он близок к углу  $\beta^* \approx 10^\circ$  между связью *N*-phenyl и осью, проходящей через центры фенильных колец молекулы МВВА и принимаемой в качестве молекулярной оси 1 при анализе данных ЯМР [9–12]. Это подтверждает определяющий вклад переходов  $n-\pi^*$  и  $\pi-\pi^*$ , поляризованных вдоль связи *N*-phenyl, в дисперсию параметров  $\bar{\nu}(\lambda)$ ,  $\gamma_l(\lambda)$ ,  $\Delta\gamma(\lambda)$  в видимой области. Низкое значение  $\beta$  объясняет слабую дисперсию  $\gamma_l(\lambda)$ .

Аппроксимация зависимостей  $\Gamma_2(\lambda)$  для  $\gamma_l$  и  $\Delta\gamma$  функцией (9) в интервале  $\lambda_{1-3.5}$  без учета флуктуаций  $\Gamma_2(\lambda_4)$  дает значения  $\lambda_r(\gamma_l) = 0.304$  и  $\lambda_r(\Delta\gamma) = 0.327 \mu\text{m}$ , близкие к  $\lambda_{n\pi}$  и  $\lambda_{\pi\pi}$ , вместе с величинами  $\Gamma_2^{(\infty)}$ , совпадающими с коэффициентами  $\Gamma_2(\gamma_l^{(\infty)})$  и  $\Gamma_2(\Delta\gamma_\infty)$  формулы (8) в таблице. Это показывает связь коэффициента  $\Gamma_2(\lambda)$  с изменением сил осцилляторов  $f_{n\pi}(S)$  и  $f_{\pi\pi}(S)$  переходов  $n-\pi^*$  и  $\pi-\pi^*$ , что коррелирует с экспериментальной зависимостью  $f_{\pi\pi}(S)$  типа (8) в нематической фазе МВВА [18].

Электронная структура МВВА чувствительна к углу  $\varphi_N$  между фрагментом  $\text{C}(\text{H})=\text{N}$  и анилиновым кольцом [17]. Для отдельной молекулы МВВА в газе или изотропной среде (изотропной фазе ЖК) справедливы выражения  $f_{\pi\pi}(\varphi_N) \propto \cos^2 \varphi_N$ ,  $f_{n\pi}(\varphi_N) \propto \sin^2 \varphi_N$  [1,17]. Для ЖК измеряемым параметром конформационного состояния его молекул является средняя по ансамблю величина  $Q_2 = \langle \cos^2 \varphi_N \rangle$  [1], от которой зависят измеряемые силы осцилляторов  $f_{\pi\pi} \propto Q_2$ ,  $f_{n\pi} \propto (1 - Q_2)$ . Следствием изменения параметра  $Q_2$  в нематической фазе МВВА [19]

$$Q_2 = Q_{2i} + \eta S^2 \quad (12)$$

относительно его значения  $Q_{2i}$  в изотропной фазе являются квадратичные зависимости  $f_{\pi\pi}(S)$  и  $f_{n\pi}(S)$ , которые дают вклад в квадратичные зависимости (8) для измеряемых параметров поляризуемости. Сравнение величин  $\kappa = \Gamma_2/\Gamma_0$  для параметров  $\bar{\nu}$ ,  $\Delta\gamma$  в нематических фазах МВВА, 4-*n*-алкил-4'-цианофенилов (*n*СВ) [1,5] и 4-нитрофенил-4'-октилксибензоата (NP8ОВ) [20] показывает, что конформационный вклад (изменение  $Q_2$ ) в коэффициент  $\Gamma_2$  не является единственным. Для *n*СВ величина  $\Gamma_2(\Delta\gamma)$  определяется зависимостью  $f_{\pi\pi}(\varphi) \propto \cos^2 \varphi$  силы осциллятора длинноволнового электронного  $\pi-\pi^*$ -перехода от угла  $\varphi$  между фенильными кольцами бифенильного фрагмента [21] и изменением  $Q_2(S)$  в нематической фазе согласно (12) [19]. В видимой области величины  $\kappa(\bar{\nu})$  для МВВА близки к тем же для 5СВ и 7СВ [1,5], тогда как величины  $\kappa(\Delta\gamma)$  для МВВА существенно ниже значений  $\kappa(\Delta\gamma) > 0.5$  для этих гомологов *n*СВ. Отношения  $\Gamma_2(\Delta\gamma)/\Gamma_2(\bar{\nu}) > 3$  для *n*СВ значительно выше тех же для МВВА. Для нематической фазы NP8ОВ зависимостям  $\bar{\nu}$ ,  $\gamma_l$ ,  $\Delta\gamma$  от  $S$  в видимой области отвечают положительные (отрицательные) значения  $\Gamma_2$  для  $\bar{\nu}$ ,  $\gamma_l(\Delta\gamma, \gamma_l)$  [20]. Эти факты

показывают наличие отрицательного вклада в  $\Gamma_2(\Delta\gamma)$ , связанного с межмолекулярными взаимодействиями в ЖК, наряду с положительным конформационным вкладом. Установление общей зависимости (8) для параметров поляризуемости в нематических ЖК позволяет перейти к ее интерпретации и выяснению физических следствий в рамках феноменологического подхода, не ограниченного конкретными типами межмолекулярных взаимодействий.

#### 4. Следствия зависимостей $\bar{\nu}(S)$ , $\Delta\gamma(S)$

Тензор молекулярной поляризуемости  $\gamma$ , усредненный по ориентациям молекул относительно директора  $\mathbf{n}$  в произвольной системе координат, можно представить в виде  $\gamma = \bar{\nu}\mathbf{E} + (2/3)\Delta\gamma\mathbf{S}$ , где  $\mathbf{E}$  — единичный тензор с компонентами  $E_{ik} = \delta_{ik}$ ,  $\mathbf{S}$  — тензорный параметр порядка нематика с компонентами  $S_{ik} = S(3n_i n_k - \delta_{ik})/2$ ,  $n_{i,k}$  — компоненты директора  $\mathbf{n}$  в данной системе координат [22]. В системе директора  $\mathbf{n} \parallel Z$  диагональному тензору  $\mathbf{S}(-S/2, -S/2, S)$  с указанными компонентами соответствует диагональный тензор  $\gamma(\gamma_\perp, \gamma_\perp, \gamma_\parallel)$  с компонентами  $\gamma_\perp = \bar{\nu} - \Delta\gamma S/3$ ,  $\gamma_\parallel = \bar{\nu} + 2\Delta\gamma S/3$ . Зависимости  $\bar{\nu}(S)$ ,  $\Delta\gamma(S)$  минимизируют плотность свободной энергии нематика

$$\Delta F = \Delta F_S + \Delta F_\gamma + \Delta F_{S\gamma}. \quad (13)$$

Слагаемое  $\Delta F_S$ , обусловленное ориентационной упорядоченностью молекул в отсутствие связи тензоров  $\mathbf{S}$  и  $\gamma$ , имеет вид [22]

$$\Delta F_S = a(T - T_0^*)S^2/2 - BS^3/3 + CS^4/4 + \dots, \quad (14)$$

где температурная зависимость коэффициентов  $B, C, \dots$  в узком интервале нематической фазы не учитывается. Вклад  $\Delta F_\gamma$  связан с изменениями  $\xi_1 = \Delta\gamma - \Delta\gamma_i$ ,  $\xi_2 = \bar{\nu} - \bar{\nu}_i$  параметров  $\Delta\gamma$ ,  $\bar{\nu}$  в ЖК относительно равновесных значений  $\Delta\gamma_i$ ,  $\bar{\nu}_i$  в изотропной фазе. Зависимость (8) выполняется во всем интервале изменения  $\lambda$  от видимой области до  $\lambda = \infty$ , а величины  $\Delta\gamma(\lambda)$ ,  $\bar{\nu}(\lambda)$  отличаются от экстраполированных значений  $\Delta\gamma_\infty$ ,  $\bar{\nu}_\infty$  слабо меняющимся коэффициентом пропорциональности. Поэтому будем считать, что в (13) фигурируют  $\Delta\gamma_\infty$ ,  $\bar{\nu}_\infty$ . Функция  $\Delta F_\gamma(\xi_{1,2})$  с минимумом при  $\xi_{1,2} = 0$  дается в низшем приближении положительно определенной квадратичной формой

$$\Delta F_\gamma = \xi_1^2/2\chi_1 + \xi_1 \xi_2/\chi_m + \xi_2^2/2\chi_2 \quad (15)$$

с коэффициентами  $\chi_{1,2} > 0$  и  $\chi_m^2 > \chi_1 \chi_2$ . В силу не критического характера изменений  $\xi_{1,2}$  по отношению к нематическому упорядочению молекул температурной зависимостью  $\chi_{1,2,m}$  можно пренебречь. Слагаемое  $\Delta F_{S\gamma}$  обусловлено связью тензоров  $\mathbf{S}$  и  $\gamma$ . В низшем порядке по  $S$ ,  $\Delta\gamma$ ,  $\bar{\nu}$  функция  $\Delta F_{S\gamma}(I_1, I_2)$  зависит от инвариантов  $I_1 = \text{Sp}(\mathbf{S}\gamma) = \Delta\gamma S^2$ ,  $I_2 = \text{Sp}(\mathbf{S}^2)\text{Sp}(\gamma) = 9\bar{\nu} S^2/2$  и имеет

вид  $\Delta F_{S\gamma} = -(\eta_1 I_1 + 2\eta_2 I_2/9)$ . Она состоит из двух частей

$$\Delta F_{S\gamma}(\gamma_i) = -(\eta_1 \Delta\gamma_i + \eta_2 \bar{\gamma}_i) S^2, \quad (16)$$

$$\Delta F_{S\gamma}(\xi_{1,2}) = -(\eta_1 \xi_1 + \eta_2 \xi_2) S^2. \quad (17)$$

Подстановка слагаемого  $\Delta F_{S\gamma}(\gamma_i)$  в (13) и включение его в  $\Delta F_S$  (14) дает

$$T^* = T_0^* + (2/a)(\eta_1 \Delta\gamma_i + \eta_2 \bar{\gamma}_i). \quad (18)$$

Экспериментальное различие температур  $T_{NI}$  и  $T^*$  составляет порядка градуса [4,5,22], и зависимость (18) справедлива также для  $T_{NI}$ . При  $\eta_1 > 0$  линейный рост  $T_{NI}(\Delta\gamma_i)$  согласуется с тем же при повышении  $\Delta\gamma_i$  за счет заместителей в мезогенных молекулах [1]. При  $\eta_2 > 0$  линейная зависимость  $T_{NI}(\bar{\gamma}_i)$  соответствует линейной корреляции между  $T_{NI}$  и молекулярной рефракцией  $R_M \propto \bar{\gamma}_i$  нематических ЖК при изменении  $R_M$  за счет варьирования заместителей в молекулах [23,24]. Зависимость  $T_{NI}$  от  $\Delta\gamma_i$  и  $\bar{\gamma}_i$  объясняет повышение  $T_{NI}$  для ряда ЖК при одновременном снижении  $\Delta\gamma_i$  и росте  $\bar{\gamma}_i$  [1], что является камнем преткновения для теории Майера-Заупе [4], в которой  $T_{NI} \propto (\Delta\gamma_i)^2$ . Таким образом, для известных ЖК выполняется  $\eta_{1,2} > 0$ .

Минимизация суммы  $\Delta F_\gamma + \Delta F_{S\gamma}(\xi_{1,2})$  относительно  $\xi_{1,2}$  дает

$$\xi_1 = S^2 \frac{\chi_1(\eta_1 - \eta_2 \chi_2/\chi_m)}{1 - \chi_1 \chi_2/\chi_m^2}, \quad \xi_2 = S^2 \frac{\chi_2(\eta_2 - \eta_1 \chi_1/\chi_m)}{1 - \chi_1 \chi_2/\chi_m^2}. \quad (19)$$

Эти зависимости  $\xi_{1,2}(S)$  отвечают экспериментальным (8). Значения  $\chi_m < 0$  ( $\xi_{1,2} > 0$ ) исключают наблюдаемую для NP8OB возможность  $\xi_1 < 0$ ,  $\xi_2 > 0$  и не учитываются. При  $\chi_m > 0$  каждая из величин  $\xi_{1,2}$  определяется двумя вкладками разного знака. Случай  $\eta_1 > \eta_{1c} = \eta_2 \chi_2/\chi_m$ ,  $\xi_1 > 0$  характерен для гомологов *n*CB и MBVA. При  $\xi_1 = 0$  за счет взаимной компенсации вкладов в  $\xi_1$  имеем  $\xi_2 = \eta_2 \chi_2 S^2$ . Соотношения  $\eta_1 < \eta_{1c}$ ,  $\xi_1 < 0$  соответствуют нематической фазе NP8OB [20] и ряда других ЖК [5]. Случай  $\xi_2 = 0$  при  $\eta_2 = \eta_{2c} = \eta_1 \chi_1/\chi_m$  и  $\xi_1 = \eta_1 \chi_1 S^2$  наблюдался для цианфенилового эфира гептилкоричной кислоты [25]. Для остальных изученных к настоящему времени ЖК выполняются соотношения  $\eta_2 > \eta_{2c}$ ,  $\xi_2 > 0$  [5,20,26]. В зависимости от величин  $R_1 = \eta_1/\eta_{1c}$ ,  $R_2 = \eta_2/\eta_{2c}$  значение  $\xi_1/\xi_2 = \Gamma_2(\Delta\gamma)/\Gamma_2(\bar{\gamma}) = \eta_2(R_1 - 1)/[\eta_1(R_2 - 1)]$  может изменяться в широких пределах.

Подстановка  $\xi_{1,2}$  (19) в (15), (17) приводит функционал (13) к форме

$$\Delta F_S = a(T - T^*)S^2/2 - BS^3/3 + C^*S^4/4 + \dots \quad (20)$$

с параметром  $T^*$  (18) и коэффициентом  $C^* = C - \Delta C$ , где

$$\Delta C = \frac{2\eta_{1c}\eta_{2c}\chi_m}{1 - \chi_1\chi_2/\chi_m^2} (R_1 + R_2 - 2). \quad (21)$$

С учетом  $R_1 R_2 = \chi_m^2/\chi_1 \chi_2 > 1$  из неравенств  $(R_1 + R_2) > 2(R_1 R_2)^{1/2} > 2$  следует  $\Delta C > 0$  при

любых  $R_{1,2} > 0$ . Снижение  $C^*$  и возможность смены знака  $C^*$  на отрицательный показывает необходимость учета следующих членов ряда (20) для адекватного описания экспериментальных зависимостей  $S(T)$  теоретической зависимостью  $S^*(T)$ , минимизирующей функционал (20). Это подтверждается аппроксимацией зависимостей  $S(T)$  для *n*CB и MBVA [5], 4-*n*-алкокси-4'-цианобифенилов (*n*OCB) [27] и других ЖК [28] функциями  $S^*(T)$  для ряда (20) со слагаемым  $\propto S^6$ . Смена знака  $\Gamma_2(\Delta\gamma)$  с отрицательного (NP8OB) на положительный и дальнейший рост отношения  $\Gamma_2(\Delta\gamma)/\Gamma_2(\bar{\gamma})$  при переходе от MBVA к *n*CB и *n*OCB сопровождается монотонным снижением  $\beta_H$  в формуле (7) от 0.28 [20] до 0.17 [27]. Это отвечает возрастающему влиянию более высоких членов ряда (20) при малых положительных или отрицательных (MBVA) значениях  $C^*$  [5,28].

## 5. Заключение

Для наиболее известного нематика MBVA здесь показана возможность экспериментального определения компонент  $L_j$  и  $\gamma_j$  тензоров Лорентца и молекулярной поляризуемости в системе осей эллипсоида рефракции без априорных предположений о ненаблюдаемых свойствах молекул или их зависимости от фазового состояния ЖК. Экспериментально установленные квадратичные зависимости  $\gamma_{i,t}(S)$ ,  $\Delta\gamma(S)$ ,  $\bar{\gamma}(S)$  в спектральной области от видимого диапазона до  $\lambda = \infty$  обусловлены изменением сил осцилляторов длинноволновых электронных переходов молекул MBVA в результате межмолекулярных взаимодействий и изменения конформации молекулярного остова.

Вывод наблюдаемых зависимостей  $\Delta\gamma(S)$ ,  $\bar{\gamma}(S)$  в низшем приближении феноменологической теории показал, что отсутствие линейного по  $S$  слагаемого является следствием симметрии нематической фазы и отсутствия инварианта  $\text{SpS} = 0$  для тензорного параметра порядка  $\mathbf{S}$  этой фазы. Каждая из функций  $\xi_1(S) = \Delta\gamma - \Delta\gamma_i$ ,  $\xi_2(S) = \bar{\gamma} - \bar{\gamma}_i$  определяется двумя слагаемыми противоположного знака. Различные соотношения между этими слагаемыми приводят к особенностям изменения  $\Delta\gamma(S)$  и  $\bar{\gamma}(S)$ , которые соответствуют наблюдаемым для MBVA и других известных ЖК.

Следствием изменения  $\Delta\gamma(S)$ ,  $\bar{\gamma}(S)$  является линейная зависимость температуры  $T_{NI}$  перехода N-I от параметров  $\Delta\gamma_i$  и  $\bar{\gamma}_i$ , что объясняет известные данные по изменению  $T_{NI}$  при варьировании величин  $\Delta\gamma_i$ ,  $\bar{\gamma}_i$  в мезогенных молекулах. Это дает возможность управления положением нематической фазы на температурной шкале. Взаимосогласованное изменение параметров  $\Delta\gamma$ ,  $\bar{\gamma}$  и  $S$  проявляется в перенормировке коэффициентов функционала  $\Delta F_S$  и изменении зависимости  $S^*(T)$ , минимизирующей данный функционал. Вследствие этого для аппроксимации экспериментальной зависимости  $S(T)$  функцией  $S^*(T)$  в функционале  $\Delta F_S$  необходим учет слагаемых до  $S^6$ .

## Список литературы

- [1] Е.М. Аверьянов. Стерические эффекты заместителей и мезоморфизм. Изд-во СО РАН, Новосибирск (2004). 470 с.
- [2] А.Н. Верещагин. Поляризуемость молекул. Наука, М. (1980). 177 с.
- [3] K.D. Bonin, V.V. Kresin. Electric-Dipole Polarizabilities of Atoms, Molecules, and Clusters. World Sci. Publ., Singapore (1997). 247 p.
- [4] С. Чандрасекар. Жидкие кристаллы. Мир, М. (1980). 344 с.
- [5] Е.М. Аверьянов. Эффекты локального поля в оптике жидких кристаллов. Наука, Новосибирск (1999). 552 с.
- [6] Е.М. Аверьянов. ЖЭТФ **137**, 705 (2010).
- [7] Е.М. Аверьянов. ЖЭТФ **135**, 194 (2009).
- [8] M. Brunet-Germain. Comp. Rend. Acad. Sci. B **271**, 1075 (1970).
- [9] A. Pines, J.J. Chang. Phys. Rev. A **10**, 946 (1974).
- [10] Y. Sasanuma. J. Phys. II (France). **3**, 1759 (1993).
- [11] A. Abe, E. Iizumi, Y. Sasanuma. Polymer J. **25**, 1087 (1994).
- [12] R. Dong, L. Freisen, G.V. Richards. Mol. Phys. **81**, 1017 (1994).
- [13] I. Haller. Solid State Chem. **10**, 103 (1975).
- [14] P.I. Rose. Mol. Cryst.–Liq. Cryst. **26**, 75 (1974).
- [15] M. Mizuno, T. Shinoda, H. Mada, S. Kobayashi. Mol. Cryst.–Liq. Cryst. Lett. **41**, 155 (1978).
- [16] В.Г. Румянцев, Л.М. Блинов. Опт. и спектр. **47**, 324 (1979).
- [17] M. Mizuno, T. Shinoda. Mol. Cryst.–Liq. Cryst. **69**, 103 (1981).
- [18] А.Ю. Поповский. Автореф. канд. дис. Изд-во ОГУ, Одесса (1991). 15 с.
- [19] Е.М. Аверьянов. ФТТ **24**, 2839 (1982).
- [20] Е.М. Аверьянов, В.А. Жуйков, В.Ф. Шабанов. Кристаллография **29**, 542 (1984).
- [21] H. Suzuki. Electronic Absorption Spectra and Geometry of Organic Molecules. Acad. Press, N.Y.–L. (1967). 567 p.
- [22] П. Де Жен. Физика жидких кристаллов. Мир, М. (1977). 400 с.
- [23] M. Marcos, E. Melendes, B. Ros, J.L. Serrano. Can. J. Chem. **63**, 2922 (1985).
- [24] J. Barbera, M. Marcos, M.B. Ros, J.L. Serrano. Mol. Cryst.–Liq. Cryst. **163**, 139 (1988).
- [25] Е.М. Аверьянов, В.А. Жуйков, В.Я. Зырянов, В.Ф. Шабанов. ЖСХ **27**, 5, 73 (1986).
- [26] Е.М. Аверьянов. ЖФХ **84**, 1817 (2010); **86**, 810 (2012).
- [27] Е.М. Аверьянов, В.А. Жуйков, В.Я. Зырянов, Ю.И. Руолене, В.Ф. Шабанов. ФТТ **24**, 3279 (1982).
- [28] Е.М. Аверьянов. ЖЭТФ **110**, 1820 (1996).